

**ЕЛЕКТРИЧНІ ТА ОПТИЧНІ ВЛАСТИВОСТІ ПЛІВОК  $\text{SnO}_2:\text{F}$ ,  
ОТРИМАНИХ МЕТОДОМ ПУЛЬВЕРИЗАЦІЇ**

**Є.Я. Швець, С.Л. Хрипко, Є.І. Зубко**  
Запорізька державна інженерна академія  
пр. Леніна, 226, м Запоріжжя, 69006

Вивчались електричні та оптичні властивості плівок діоксиду олова, виготовлених за методом пульверизації водно-спиртового розчину чотирихлористого олова з додаванням фтористого амонію. Наведені результати впливу температури осадження плівок і концентрації фтору на опір, рухомість та концентрацію носіїв заряду, спектри пропускання. Отримані високі значення критерію якості свідчать про оптимальність технологічних режимів пульверизації.

**ВСТУП**

Прозорі провідні оксиди інтенсивно вивчаються внаслідок їх різноманітних застосувань в електронних приладах [1-6], зокрема у сонячних елементах [7-9]. Ці плівки хімічно інертні, мають механічну твердість та термічну стійкість. Їх опір становить від десятків до тисяч Ом, а оптичні властивості визначаються прозорістю у області спектру між 380-700 нм (> 80%) та значним коефіцієнтом заломлення (>1,90) [10-12]. Плівки  $\text{SnO}_2$  мають добру адгезію до напівпровідників та діелектричних підкладок. Оксид олова – це напівпровідник n-типу з шириною забороненої зони 3,6 еВ [13]. Провідність n-типу  $\text{SnO}_2$  пов'язана з нестехіометрією хімічного складу, обумовленою кисневими вакансіями у об'ємі напівпровідника [14-15]. Методи виготовлення тонких плівок оксиду олова, що існують сьогодні, можна розділити на дві групи: фізичні та хімічні. До фізичних відносять катодне розпилення, магнетронне напилення, реактивне ВЧ-розпилення, термічне випаровування у вакуумі, електронно-променеве випаровування. Хімічні методи поділяють на наступні: хімічне газове осадження, пульверизація, золь-гель метод та ін. [16-23]. З точки зору мінімальних матеріальних витрат, невеликих температур осадження, відсутності наступних термообробок метод пульверизації має певні переваги. Для практичної реалізації процесу пульверизації були проаналізовані різні конструкції систем [24-28] та обрана за базову система з вертикальним напрямом падіння струменя на поверхню. Для покращення електрофізичних та оптических параметрів плівок  $\text{SnO}_2$  використовують різні легуючі домішки. Найбільш поширеними домішками є індій, фтор, сурма, кадмій, цинк та інші [29-32]. Легування фтором має більшу перевагу над іншими домішками з точки зору отримання більш високої прозорості при невеликому опорі [23].

**МЕТА РОБОТИ**

Вивчення впливу умов проведення процесу на оптичну прозорість та електричну провідність плівок оксиду олова, легованих фтором.

**РЕЗУЛЬТАТИ ДОСЛІДЖЕННЯ**

Проведення експериментів з виготовлення плівок  $\text{SnO}_2:\text{F}$  здійснювалось на експериментальному устаткуванні, яке складається з трьох елементів: системи пульверизації, нагрівника, системи вентиляції. Система пульверизації складається з компресора, манометрів, трубопроводів, системи подавання розчину, реакційної камери з кварцу, розпилювача, системи пересування розпилювача. До складу нагрівника

входить: термостат, нагрівний елемент, термопара хромель-алюмелева, контролер температури. Вентиляція реакційної камери здійснювалася за допомогою системи трубопроводів та вентилятора.

Головні параметри процесу осадження плівок наступні: точність вимірювання температури становила не більше  $\pm 5\%$ ; тиск кисню на виході з балону складав 0,1 МПа; швидкість потоку розчину під час пульверизації підтримувалася на рівні 7-10 мл/хв.; відстань від сопла розпилювача до поверхні пластиини була встановлена експериметальним шляхом і складала 23 см; діаметр отвору сопла, з якого розпилюється розчин не перевищував 0,5 мм. Кисень використовувався як газ-носій і подавався переривчасто через 3-4 с для запобігання охолодження поверхні пластиини. Процес пульверизації тривав протягом 4 хв. при разовому розпиленні протягом 5-7 с. Компресор підтримував тиск повітря близько 5 кПа. Швидкість потоку розчину становила 5 мл/хв. Осадження плівок відбувалось при температурах 380°C, 460°C й 500°C на поверхню скляніх (4 см×4 см) та кремнієвих (76 мм) пластиин. Товщина досліджуваних у роботі плівок становила 600 нм.

Приготування розчину здійснювали розчиненням 2,3г  $\text{SnCl}_4 \cdot 5\text{H}_2\text{O}$  у 5 мл 2М HCl. Розчинення суміші відбувалось у 20 мл етилового спирту. Для легування фтором, у якості його джерела був використаний фтористий амоній ( $\text{NH}_4\text{F}$ ), який додавався до розчину у означених пропорціях (F:Sn, ваг.%) від 5 ваг.% до 25 ваг.%. Перед початком виконання процесу пульверизації розчин прогрівався до 90°C протягом 15 хв.

Товщина ( $d$ ) виготовлених плівок  $\text{SnO}_2$  вимірювалася за допомогою профілографа-профілометра Tencor P-10. Спектри пропускання плівок реєструвались за допомогою спектрофотометра Hitachi U-4100 UV-VIS-NIR у діапазоні довжин хвиль 500-2500 нм. Дослідження структури плівок виконувалось з використанням рентгенівського дифрактометра Bruker D8 Advance при кімнатній температурі, з  $\text{CuK} \alpha$  випромінюванням ( $\lambda=1,54 \text{ \AA}$ ). Режим роботи прискорювача був 40 кВ/35 мА. Поверхневий опір ( $R_\square$ ) плівок вимірювали за допомогою чотиризондового метода з використанням приладу ИУС-3, а питомий опір визначали, як  $\rho = R_\square \cdot d$  [33]. Рухомість та концентрація носіїв заряду визначались за методом Холла [34].

Точність вимірювання опору, товщини та температури її відносна похибка вимірювання струму становить  $\pm 0,5+0,1\%$ , а напруги  $\pm 0,5+0,15\%$ ; точність профілометра -  $1 \text{ \AA}$ ; точність вимірювання температури -  $1^\circ\text{C}$ .

## РЕЗУЛЬТАТИ ТА ОБГОВОРЕННЯ

Вплив концентрації фтору на поверхневий та питомий опори плівок  $\text{SnO}_2:\text{F}$ , виготовлених при температурах 380°C, 460°C, 500°C, показано на рис.1 та рис.2. Плівки, які були отримані за розробленими режимами мали гладку поверхню без наявності плям, сторонніх частинок, порожнин.

Величини  $R_\square$  та  $\rho$  монотонно зменшуються при збільшенні  $N_F$  у первинному розчині. Мінімальні значення  $R_\square=1,85 \text{ Ом/кв.}$  та  $\rho=2,40 \text{ Ом}\cdot\text{см}$  досягаються при  $N_F = 17$  ваг.% і температурі поверхні підкладки  $T_n=460^\circ\text{C}$ . Подальше збільшення  $N_F$  приводить до зростання опору плівок  $\text{SnO}_2:\text{F}$ . Зростання кількості іонів фтору у розчині сприяє падінню величини опору плівки до відповідного значення, тому що аніони  $\text{F}^-$  у решітці  $\text{SnO}_2:\text{F}$  заміщують аніони  $\text{O}^{2-}$ , які сприяють утворюванню додаткової кількості вільних носіїв – електронів [30].

Подальше збільшення  $N_F > 17$  ваг. % може бути пов'язано з досягненням межі розчинності фтору у решітці діоксиду олова. Додаткові атоми фтору вже не займають відповідні положення у вузлах гратки  $\text{SnO}_2$  і не сприяють утворенню додаткових електронів, а навпаки збільшують розупорядкованість решітки, утворюючі локальні рівні захоплення носіїв у забороненій зоні, що сприяє зростанню значень опору [35] матеріалу.

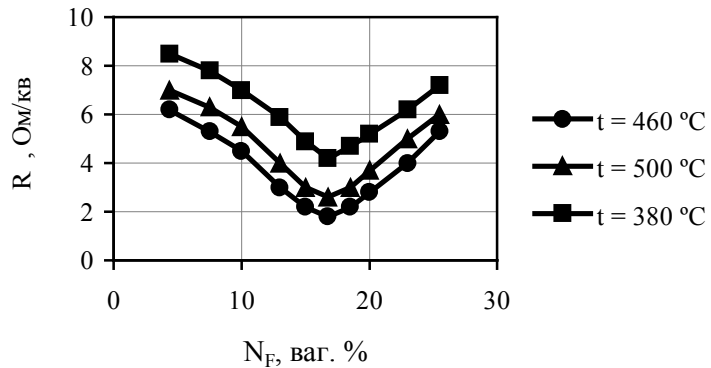


Рисунок 1 - Залежності поверхневого опору від концентрації фтору при різних температурах осадження та товщині плівки  $\text{SnO}_2:\text{F}$   $d=600$  нм

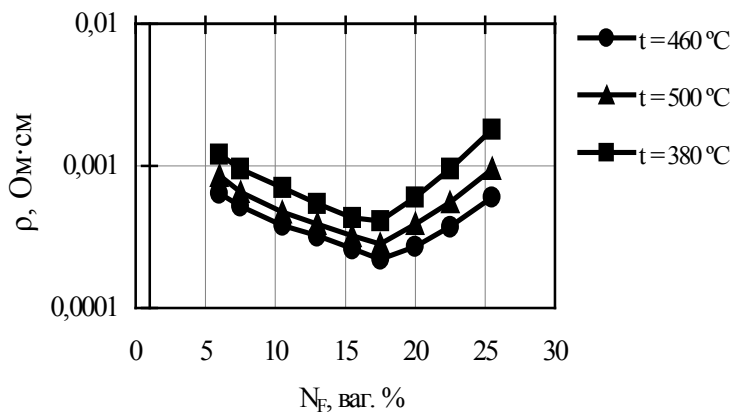


Рисунок 2 - Залежності питомого опору від концентрації фтору при різних температурах осадження та товщині плівки  $\text{SnO}_2:\text{F}$   $d=600$  нм

На рис.3 зображені залежності рухомості Холла та концентрації носіїв заряду від кількості легуючого компоненту у розчині при температурі підкладки  $460^\circ\text{C}$ .

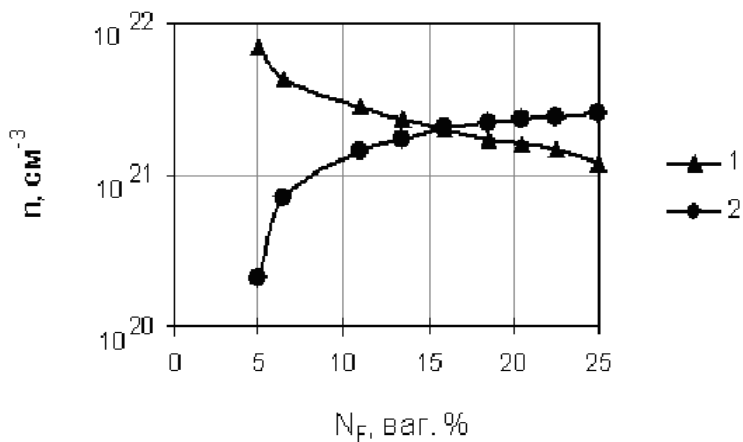


Рисунок 3 - Залежності концентрації (●) та рухомості (▲) носіїв заряду від концентрації фтору при температурі осадження:  $460^{\circ}\text{C}$  та товщині плівки  $\text{SnO}_2:\text{F}$   $d=600 \text{ нм}$

Можна бачити зменшення значень рухомості Холла та зростання концентрації носіїв заряду при збільшенні кількості атомів фтору у розчині. Ці залежності описуються відомою формулою  $\rho = (n \cdot e \cdot \mu_n)^{-1}$  [36].

Спектри коефіцієнта пропускання ( $T$ ) та відбиття плівок  $\text{SnO}_2:\text{F}$ , виготовлених при різних концентраціях фтору при температурі осадження  $460^{\circ}\text{C}$  наведені на рис.4.

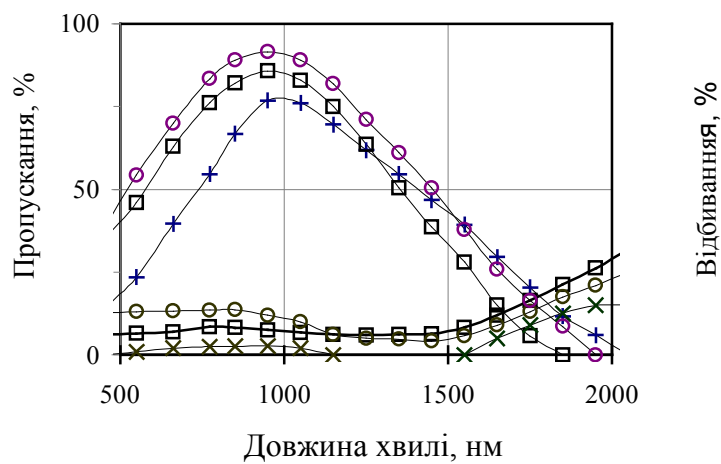


Рисунок 4 - Спектри пропускання плівок  $\text{SnO}_2:\text{F}$ , виготовлених за різними концентраціями фтору: (-x-) 5 ваг.%; (-o-) 15 ваг.%; (-□-) 25 ваг.% при температурі  $460^{\circ}\text{C}$

Пропускання плівок  $\text{SnO}_2$  із збільшенням кількості фтору зростає і досягає найбільших величин у діапазоні довжин хвиль 700-1100 нм. Так, при концентрації фтору 15% пропускання становить 82%, а при концентрації фтору 25% – 88%. Зменшення пропускання плівок у

інфрачервоному діапазоні за даними роботи [37] пов'язується зі збільшенням рівня легування фтором плівок. На довжинах хвиль 500-1000 нм плівки  $\text{SnO}_2:\text{F}$  мають більше відбивання ніж плівки з концентрацією фтору 5%, але на довжинах хвиль, які перевищують 1500 нм мінімальне відбивання (20%) мають плівки з концентрацією фтору 5%.

Для практичного застосування плівок  $\text{SnO}_2:\text{F}$  у сонячних елементах потрібно досягнути найбільших значень коефіцієнту пропускання та електропровідності шарів. На жаль, ці параметри корелюють між собою обернено-пропорційно. Тому потрібно встановити оптимальну величину цих параметрів за допомогою критерію якості (figure of merit) [38]:  $\Phi_{TC} = T^{10}/R_{\square}$ , де  $T$  – коефіцієнт пропускання на відповідній довжині хвилі;  $R_{\square}$  – поверхневий опір. Показник 10 введений для того, щоб збільшити варіації у величині  $T$  в порівнянні з  $R_{\square}$ , тому як варіації  $T$  значно менші ніж  $R_{\square}$ . В таблиці для порівняння приведені окремі значення параметрів, які досліджувались в роботі. Оптимальними на наш погляд технологічними параметрами процесу пульверизації є такі: температура –  $460^{\circ}\text{C}$ , концентрація фтору – від 13 ваг.% до 17 ваг.%.

*Таблиця – Електро-оптичні властивості плівок  $\text{SnO}_2:\text{F}$ , виготовлених у роботі*

Параметри	[F]/[Sn], ваг.%				$T, {}^{\circ}\text{C}$
	5	10	15	20	
$R_{\square}, \text{Ом}/\square$	8,35	6,85	4,90	5,30	380
	6,15	4,70	2,10	3,00	460
	7,05	5,40	3,20	3,80	500
$\rho, \text{Ом} \cdot \text{см}, *10^{-4}$	11,00	7,50	6,20	6,50	380
	7,00	6,50	2,80	2,90	460
	8,50	5,20	3,50	3,80	500
$\mu, \text{см}^2/(\text{В} \cdot \text{с})$					380
	37,00	31,00	27,00	24,00	460
					500
$N, \text{см}^{-3}, *10^{21}$					380
	0,70	1,40	4,00	5,00	460
					500
$\Phi_{TC}, \text{Ом}^{-1}$					380
	0,00916	0,01558	0,06545	0,06562	460
					500
$d, \text{нм}$	600	600	600	600	380
	600	600	600	600	460
	600	600	600	600	500
$T$					380
	0,75	0,77	0,82	0,85	460
					500

### ВИСНОВКИ

У роботі продемонстрована можливість виготовлення тонких плівок  $\text{SnO}_2:\text{F}$  з використанням технології пульверизації спиртово-водного розчину на основі  $\text{SnCl}_4$ . Отримані плівки товщиною 600 нм, які мають наступні найкращі значення електрооптичних параметрів: поверхневий

опір – 1,85 Ом/кв, питомий опір – 2,4 Ом·см, рухомість носіїв – 37 см<sup>2</sup>/(В·с), концентрацію носіїв – 5 · 10<sup>21</sup> см<sup>-3</sup>, оптичне пропускання – 85%.

## SUMMARY

### ELECTRICAL AND OPTICAL PROPERTIES FILMS SNO<sub>2</sub>:F, OBTAINED BY PULVERIZATSII

*Shvets E., Khripko S., Zubko E.*  
Zaporozhye State Engineering Academy

*Electrical and optical properties tin oxide films prepared from SnCl<sub>4</sub> 5H<sub>2</sub>O and NH<sub>4</sub>F, using spray pyrolysis technique were studied. Effect of the substrate temperature and F concentration on resistances, mobility, carrier concentration, transmittance and figure of merit are presented in article. High values figure of merit by optimum regimes spray pyrolysis were received.*

## СПИСОК ЛІТЕРАТУРИ

1. Ferekides C.S., Mamazza R., Balasubramanian U., Morel D.L. Transparent conductors and buffer layers for CdTe thin film solar cells // Thin Solid Films. – 2005. – V.480-481. – P.466-470.
2. Korotchenkov G. Practical aspects in design of one-electrode semiconductor gas sensors: Status report // Sensors and Activators; B. – 2007. – V.121. – P.664-678.
3. Diebold U. The surface science of titanium dioxide // Surface Science reports. – 2003. – V.48. – P.53-229.
4. Gumus C., Ozkendir O.M., Kavak H., Ufuktepe Y. Structural and optical properties of zinc oxide thin films prepared by spray pyrolysis method // J. Optoelectronics and Advanced mater. – 2006. – V.8, №1. – P.299-303.
5. Gu F., Wang S.F., Lu M.K., Qi Y.X., Zhou G.J., Xu D., Yuan D.R. Luminescent properties of Mn<sup>2+</sup>-doped SnO<sub>2</sub> nanoparticles // Inorganic Chemistry Communications. – 2003. – V.6. – P.882-885.
6. Залесский В.Б., Леонова Т.Р., Гончаров О.В., Вікторов І.А., Гременок В.Ф., Зарецкая Е.П. Получение тонких пленок оксида цинка методом реактивного магнетронного распыления и исследование их электрических и оптических характеристик // ФХТТ. – 2005. – Т.6, №1. – С.44-49.
7. Lee J.Y. Application of various surface passivation layers in solar cells // J. Korean phys. society. – 2004. – V.45, №2. – P.558-563.
8. Рожков В.А., Родионов М.А., Гур'янов А.М., Пашин А.В. Просветляющие свойства пленок оксидов гольмия и скандия // Вестник СамГУ. Естественнонаучная серия. – 2005.–№2(36).–С.200-206.  
<http://vestnik.ssu.samara.ru/est/2005web2/phys/200520204.pdf>
9. Николаев Ю.А., Рудь В.Ю., Рудь Ю.В., Теруков Е.И., Fuhs W., Froitzheim A. Фотоэлектрические явления в солнечных элементах ZnO(ITO)/a-Si:H(n)/c-Si(p)/Al //ФТП. – 2002. – Т.36, №9. – С.1128-1132.
10. Giani E., Kelly R. A study of SnO<sub>2</sub> thin Films formed by sputtering and by anodizing //J. Electrochem. Society. – 1974. – V.121, №3. – P.394-399.
11. Senguttuvan T.D., Malhotra L.K. Sol-gel deposition of pure and antimony doped tin dioxide thin films by non alkoxide precursors // Thin Solid Films. – 1996. – V.289. – P.22-28.
12. Diaz-Flores L.I., Ramirez-Bon R., Mendoza-Galvan A., Prokhorov E., Gonzalez-Hernandez J. Impedance spectroscopy studies on SnO<sub>2</sub> films prepared by the sol-gel process // J. Phys. Chem. Solids. – 2003. – V.64. – P.1037-1042.
13. Домашевская Е.П., Рябцев С.В., Тутов Е.А., Юрakov Ю.А., Чувенкова О.А., Лукин А.Н. Оптические свойства нанослоев SnO<sub>2-x</sub> // Письма в журнал технической физики. – 2006. – Т.32, №18. – С.7-12.
14. Samson S., Fonstad C.G. Defect Structures and electronic donor levels in stannic oxide crystals // J. Appl. Phys. – 1973. – V.44. – P.4618-4621.
15. Fonstad C.G., Rediker R.H. Electrical properties of high quality stannic oxide crystals //J. Appl. Phys. – 1971. – V.42. – P.2911-2918.
16. Суйковская А.В. Химические методы получения тонких прозрачных пленок. –Л.: Химия, 1971. – 198с.
17. Huges J.L. Scale-up problems in electron-beam evaporation and sputtering // J. of Vacuum Science and Technol. - 1978. – V.15, №4. – P.1572-1579.
18. Черненко І.М., Чаковський К.В., Тарасенко Ю.С. Структурні властивості плівок оксидів олова і цинку // ФХТТ. – 2003. – Т.4, №3. – С.466-469.

19. Yusta F.J., Hitchman M.L., Shamlian S.H. CVD preparation and characterization of tin dioxide films for electrochemical applications // J. Mater. Chem. – 1997. – V.7, №8. – P.1421-1427.
20. Mulla I.S., Soni H.S., Rao V.J., Sinha A.P.B. Deposition of improved optically selective conductive in oxide films by spray pyrolysis // J. Mater. Science. – 1986. – V.21, №4. – P.1280-1288.
21. Geraldo V., Scalvi L.V.A., Morais E.A., Santilli C.V., Pulcinelli S.H. Sb doping effects and oxygen adsorption in  $\text{SnO}_2$  thin films deposited via sol-gel // Materials Research. – 2003. – V.6, №4. – P.451-456.
22. Козыркин Б.И., Бараненков И.В., Кощенко А.В., Голованов Н.А. Методы получения прозрачных проводящих покрытий на основе оксида олова (IV) // Зарубежная радиоэлектроника. – 1984. – №10. – С.69-86.
23. Geoffroy C., Campet G., Menil F., Portier J., Salardenne J., Couturier G. Optical and electrical properties of  $\text{SnO}_2:\text{F}$  thin films obtained by r.f. sputtering with various targets // Active and Passive Electronic Components. – 1991. – V.14. – P.111-118.
24. Ilcan S., Caglar Y., Caglar M. X-ray diffraction studies of undoped and in-doped  $\text{Cd}_{0.22}\text{Zn}_{0.78}\text{S}$  films deposited by spray pyrolysis // J. Arts and sciences. – 2005. – №3. – P.85-94.
25. Mooney J.B., Radding S.B. Spray pirolysis pricessing // Annual Review of Material Science. – 1982. – V.12. – P.81-101.
26. Pommier P., Gril C., Marucchi J. Sprayed films of indium tin oxide and fluorine doped tin oxide of large surface area // Thin Solid Films. – 1981. – V.77, №1-3. – P.91-98.
27. Rozati S.M., Habibi M., Mishoja S.L., Sayigh A.A.M. Design and construction of spray pyrolysis system for characterization of tin oxide films // World Renewable Energy Congres: The Energy for the 21-st century, Brighton. –2000. –P.275-278.
28. Lee Y., Kim H., Roh Y. Deposition of  $\text{ZnO}$  thin films by the ultrasonic spray pyrolysis technique // Jap. J. Appl. Phys. Part 1. - 2001 – V.40, №4A. – P.2423-2428.
29. Elangovan E., Ramamurthi K. A study on low cost high conducting fluorine and antimony-doped tin oxide thin films // Applied Surface Science. – 2005. – V.249, №1-4. – P.183-196.
30. Thangaraju K. Structural and electrical studies on highly conducting spray deposited fluorine and antimony doped  $\text{SnO}_2$  thin films from  $\text{SnCl}_2$  precursor// Thin Solid Films. – 2002. – V.402, №1-2. – P.71-78.
31. Shanthi S., Subramanian C., Ramasamy P. Growth and characterization of antimony doped tin oxide thin films // Journal of Crystal Growth. – 1999. – V.197, №4. – P.858-864.
32. Elangovan E., Ramamurthi K. Optoelectronic properties of spray deposited  $\text{SnO}_2:\text{F}$  thin films for window materials in solar sells // J. Optoelectron. and Advanced Mater. – 2003. – V.5, №1. – P.45-54.
33. Батавин В.В., Концевой Ю.А., Федорович Ю.В. Измерение параметров полупроводниковых материалов и структур. – М.: Радио и связь, 1985. – 264 с.
34. Ковтонюк М.Ф., Концевой Ю.А. Измерение параметров полупроводниковых материалов. – М.: Металлургия, 1970. – 428с.
35. Shanthi E., Dutta V., Banerjee A., Chopra K.L. Electrical and optical properties of undoped and antimony doped tin oxide films // J. Appl.Phys. – 1980. – V.51, №12. – P.6243-6245.
36. Зи С. Физика полупроводниковых приборов. Кн.1. –М.: Мир, 1984. – 456 с.
37. Ma H.L., Zhan D.Y., Ma P., Win S.Z., Li S.Y. Preparation and properties of transparent conducting indium tin oxide-films deposited by reactive evaporation // Thin Solid Films. – 1995. – V.263, №1. – P.105-110.
38. Yusta F.J., Hitchman M.L., Shamlian S.H. CVD preparation and characterisation of tin dioxide films for electrochemical application // J. Materialschemistry. – 1997. – V.7, №8. – P.1421-1427.

**Е.Я. Швець,** кандидат техн. наук, професор кафедри фізичної та біомедичної електроніки;

**С.Л. Хрипко,** кандидат фіз.-мат. наук, професор кафедри програмування і інформаційних технологій;

**Е.И. Зубко,** аспірант кафедри фізичної і біомедичної електроніки

*Надійшла до редакції 5 травня 2008 р.*